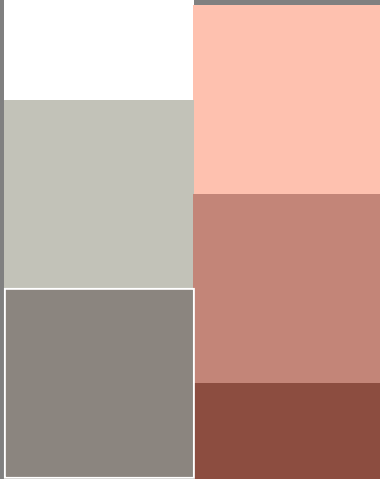
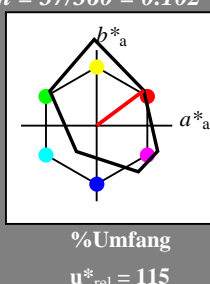




Eingabe: Farbmétrisches Drucker-Reflektiv-System FRS06
für Bunton $h^* = lab^*h = 37/360 = 0.102$
 lab^*tch und lab^*nch

D65: Bunton O
LCH*Ma: 33 78 37
olv*Ma: 1.0 0.0 0.0

Dreiecks-Helligkeit



$n^* = 0,50$

$n^* = 0,25$

$n^* = 0,00$

$n^* = 0,25$

$n^* = 0,00$

$n^* = 0,00$

relative Buntheit c^*

$0,25$

$0,50$

$0,75$

$1,00$

$0,00$

$0,25$

$0,50$

$0,75$

$n^* = 1,0$

VG240-7, 5 stufige Reihen für konstanten CIELAB Bunton $37/360 = 0.102$ (links)

BAM-Prüfvorlage VG24; Farbmétrik-Systeme FRS06 & FRS06 input: $olv^* setrgbcolor$
D65: 5stufige Farbreihen und Koordinatendaten für 10 Bunttöne output: $olv^*(TRI9) setrgbcolor$

Ausgabe: Farbmétrisches Drucker-Reflektiv-System FRS06

für Bunton $h^* = lab^*h = 37/360 = 0.102$

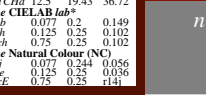
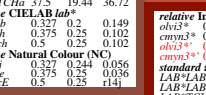
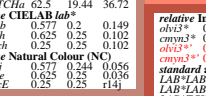
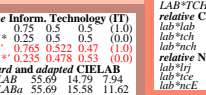
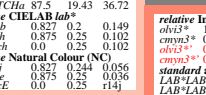
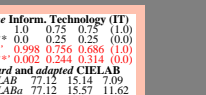
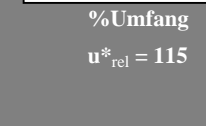
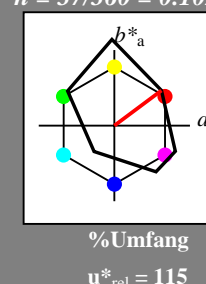
lab^*tch und lab^*nch

D65: Bunton O

LCH*Ma: 33 78 37

olv*Ma: 1.0 0.0 0.0

Dreiecks-Helligkeit



FRS06; adaptierte CIELAB-Daten

$L^*=L^*_a \quad a^*_a \quad b^*_a \quad C^*_{ab,a} \quad h^*_{ab,a}$

O _{Ma}	32.57	62.32	46.49	77.75	37
Y _{Ma}	82.73	-3.16	113.99	114.03	92
L _{Ma}	39.43	-61.79	45.84	76.95	143
C _{Ma}	47.86	-26.79	-34.24	43.49	232
V _{Ma}	10.16	55.12	-61.03	82.24	312
M _{Ma}	34.5	80.68	-33.92	87.52	337
N _{Ma}	6.25	0.0	0.0	0.0	0
W _{Ma}	91.97	0.0	0.0	0.0	0
R _{CIE}	39.92	59.8	31.05	67.38	27
J _{CIE}	81.26	-2.52	76.25	76.29	92
G _{CIE}	52.23	-41.56	17.14	44.96	158
B _{CIE}	30.57	2.63	-43.77	43.86	273

%Regularität

$g^*_{H,rel} = 28$

$g^*_{C,rel} = 38$

relative Inform. Technology (IT)

$olv^* 1.0 \quad 1.0 \quad 0.0 \quad (1.0)$

$cmy3* 0.25 \quad 0.25 \quad 0.0 \quad (0.0)$

$olv^* 1.0 \quad 1.0 \quad 0.0 \quad (0.0)$

$cmy3* 0.0 \quad 0.0 \quad 0.0 \quad (0.0)$

standard and adapted CIELAB

$lab^*lab \quad 0.75 \quad 0.75 \quad 0.75 \quad (1.1)$

$LAB^*LAB \quad 91.97 \quad 0.0 \quad 0.0 \quad (0.0)$

$LAB^*TCHa \quad 99.99 \quad 0.01 \quad - \quad -$

relative Inform. Technology (IT)

$olv^* 1.0 \quad 0.75 \quad 0.75 \quad (1.0)$

$cmy3* 0.25 \quad 0.25 \quad 0.0 \quad (0.0)$

$olv^* 1.0 \quad 0.75 \quad 0.75 \quad (1.0)$

$cmy3* 0.0 \quad 0.0 \quad 0.0 \quad (0.0)$

standard and adapted CIELAB

$lab^*lab \quad 0.75 \quad 0.75 \quad 0.75 \quad (1.1)$

$LAB^*LAB \quad 70.54 \quad 0.53 \quad -2.26$

$LAB^*TCHa \quad 70.54 \quad 0.0 \quad -$

relative Inform. Technology (IT)

$olv^* 0.75 \quad 0.75 \quad 0.75 \quad (1.0)$

$cmy3* 0.25 \quad 0.25 \quad 0.0 \quad (0.0)$

$olv^* 0.75 \quad 0.75 \quad 0.75 \quad (1.0)$

$cmy3* 0.0 \quad 0.0 \quad 0.0 \quad (0.0)$

standard and adapted CIELAB

$lab^*lab \quad 0.75 \quad 0.75 \quad 0.75 \quad (1.1)$

$LAB^*LAB \quad 55.69 \quad 14.79 \quad 7.94$

$LAB^*TCHa \quad 55.69 \quad 14.79 \quad 11.62$

relative CIELAB lab*

$lab^*lab \quad 0.577 \quad 0.2 \quad 0.149$

$lab^*tch \quad 0.875 \quad 0.25 \quad 0.102$

$lab^*nch \quad 0.0 \quad 0.25 \quad 0.102$

relative Natural Colour (NC)

$lab^*irj \quad 0.572 \quad 0.244 \quad 0.056$

$lab^*ice \quad 0.875 \quad 0.25 \quad 0.038$

$lab^*nCE \quad 0.25 \quad 0.25 \quad 0.141$

relative Inform. Technology (IT)

$olv^* 1.0 \quad 0.75 \quad 0.75 \quad (1.0)$

$cmy3* 0.25 \quad 0.25 \quad 0.0 \quad (0.0)$

$olv^* 1.0 \quad 0.75 \quad 0.75 \quad (1.0)$

$cmy3* 0.0 \quad 0.0 \quad 0.0 \quad (0.0)$

standard and adapted CIELAB

$lab^*lab \quad 0.75 \quad 0.75 \quad 0.75 \quad (1.1)$

$LAB^*LAB \quad 49.11 \quad 0.0 \quad -3.42$

$LAB^*TCHa \quad 49.11 \quad 0.0 \quad -3.42$

relative CIELAB lab*

$lab^*lab \quad 0.577 \quad 0.2 \quad 0.149$

$lab^*tch \quad 0.875 \quad 0.25 \quad 0.102$

$lab^*nch \quad 0.0 \quad 0.25 \quad 0.102$

relative Natural Colour (NC)

$lab^*irj \quad 0.572 \quad 0.244 \quad 0.056$

$lab^*ice \quad 0.875 \quad 0.25 \quad 0.141$

$lab^*nCE \quad 0.25 \quad 0.25 \quad 0.141$

relative Inform. Technology (IT)

$olv^* 1.0 \quad 0.75 \quad 0.75 \quad (1.0)$

$cmy3* 0.25 \quad 0.25 \quad 0.0 \quad (0.0)$

$olv^* 1.0 \quad 0.75 \quad 0.75 \quad (1.0)$

$cmy3* 0.0 \quad 0.0 \quad 0.0 \quad (0.0)$

standard and adapted CIELAB

$lab^*lab \quad 0.75 \quad 0.75 \quad 0.75 \quad (1.1)$

$LAB^*LAB \quad 27.68 \quad -1.25 \quad -0.57$

$LAB^*TCHa \quad 27.68 \quad 0.0 \quad 0.0$

relative CIELAB lab*

$lab^*lab \quad 0.25 \quad 0.0 \quad 0.0$

$lab^*tch \quad 0.318 \quad 0.266 \quad 0.100$

$olv^* 0.682 \quad 0.7 \quad 0.734 \quad (0.0)$

relative Natural Colour (NC)

$lab^*irj \quad 0.25 \quad 0.0 \quad 0.0$

$lab^*ice \quad 0.25 \quad 0.0 \quad 0.0$

$lab^*nCE \quad 0.75 \quad 0.0 \quad 0.0$

relative Inform. Technology (IT)

$olv^* 0.75 \quad 0.75 \quad 0.75 \quad (1.0)$

$cmy3* 0.25 \quad 0.25 \quad 0.0 \quad (0.0)$

$olv^* 0.75 \quad 0.75 \quad 0.75 \quad (1.0)$

$cmy3* 0.0 \quad 0.0 \quad 0.0 \quad (0.0)$

standard and adapted CIELAB

$lab^*lab \quad 0.75 \quad 0.75 \quad 0.75 \quad (1.1)$

$LAB^*LAB \quad 49.11 \quad 0.0 \quad -3.42$

$LAB^*TCHa \quad 49.11 \quad 0.0 \quad -3.42$

relative CIELAB lab*

$lab^*lab \quad 0.25 \quad 0.0 \quad 0.0$

$lab^*tch \quad 0.318 \quad 0.266 \quad 0.100$

$olv^* 0.682 \quad 0.7 \quad 0.734 \quad (0.0)$

relative Natural Colour (NC)

$lab^*irj \quad 0.25 \quad 0.0 \quad 0.0$

$lab^*ice \quad 0.25 \quad 0.0 \quad 0.0$

$lab^*nCE \quad 0.75 \quad 0.0 \quad 0.0$

relative Inform. Technology (IT)

$olv^* 0.75 \quad 0.75 \quad 0.75 \quad (1.0)$

$cmy3* 0.25 \quad 0.25 \quad 0.0 \quad (0.0)$

$olv^* 0.75 \quad 0.75 \quad 0.75 \quad (1.0)$

$cmy3* 0.0 \quad 0.0 \quad 0.0 \quad (0.0)$

standard and adapted CIELAB

$lab^*lab \quad 0.75 \quad 0.75 \quad 0.75 \quad (1.1)$

$LAB^*LAB \quad 49.11 \quad 0.0 \quad -3.42$

$LAB^*TCHa \quad 49.11 \quad 0.0 \quad -3.42$

relative CIELAB lab*

$lab^*lab \quad 0.25 \quad 0.0 \quad 0.0$

$lab^*tch \quad 0.318 \quad 0.266 \quad 0.100$

$olv^* 0.682 \quad 0.7 \quad 0.734 \quad (0.0)$

relative Natural Colour (NC)

$lab^*irj \quad 0.25 \quad 0.0 \quad 0.0$

$lab^*ice \quad 0.25 \quad 0.0 \quad 0.0$

$lab^*nCE \quad 0.75 \quad 0.0 \quad 0.0$

relative Inform. Technology (IT)

$olv^* 0.75 \quad 0.75 \quad 0.75 \quad (1.0)$

$cmy3* 0.25 \quad 0.25 \quad 0.0 \quad (0.0)$

$olv^* 0.75 \quad 0.75 \quad 0.75 \quad (1.0)$

$cmy3* 0.0 \quad 0.0 \quad 0.0 \quad (0.0)$

standard and adapted CIELAB

$lab^*lab \quad 0.75 \quad 0.75 \quad 0.75 \quad (1.1)$

$LAB^*LAB \quad 49.11 \quad 0.0 \quad -3.42$

$LAB^*TCHa \quad 49.11 \quad 0.0 \quad -3.42$

relative CIELAB lab*

$lab^*lab \quad 0.25 \quad 0.0 \quad 0.0$

$lab^*tch \quad 0.318 \quad 0.266 \quad 0.100$

$olv^* 0.682 \quad 0.7 \quad 0.734 \quad (0.0)$

relative Natural Colour (NC)

$lab^*irj \quad 0.25 \quad 0.0 \quad 0.0$

$lab^*ice \quad 0.25 \quad 0.0 \quad 0.0$

$lab^*nCE \quad 0.75 \quad 0.0 \quad 0.0$

relative Inform. Technology (IT)

$olv^* 0.75 \quad 0.75 \quad 0.75 \quad (1.0)$

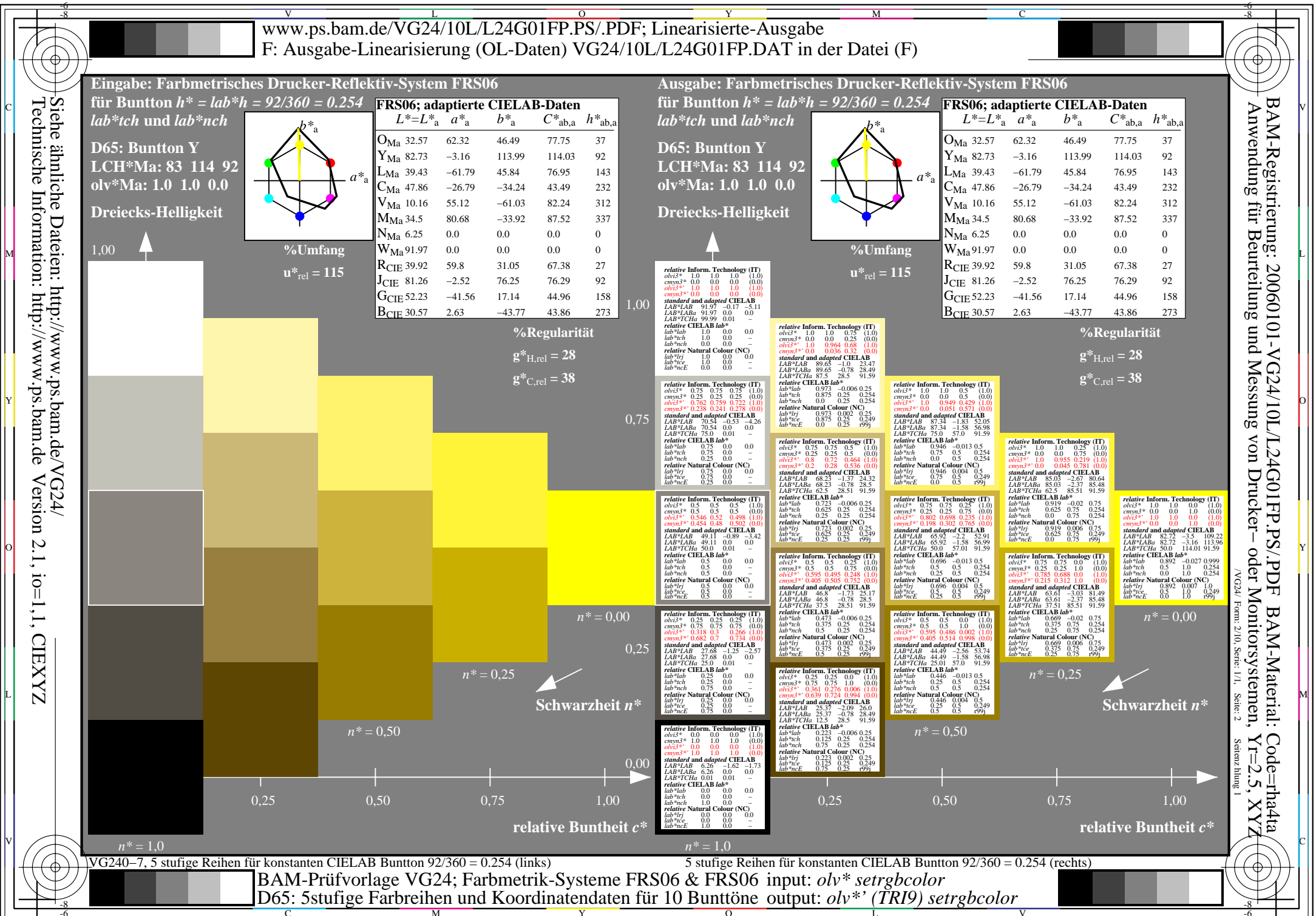
$cmy3* 0.25 \quad 0.25 \quad 0.0 \quad (0.0)$

$olv^* 0.75 \quad 0.75 \quad 0.75 \quad (1.0)$

$cmy3* 0.0 \quad 0.0 \quad 0.0 \quad (0.0)$

standard and adapted CIELAB

$lab^*lab \quad 0.75 \quad 0.75 \quad 0.75 \quad (1.1)$



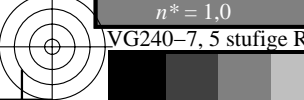
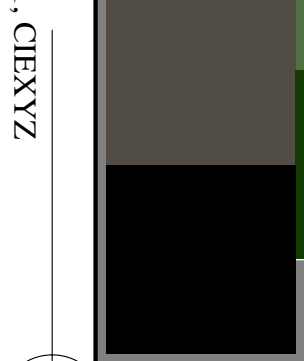
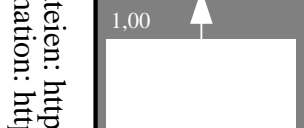
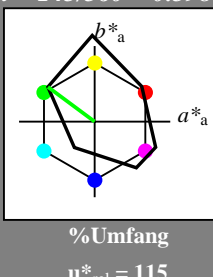


Eingabe: Farbmétrisches Drucker-Reflektiv-System FRS06

für Bunton $h^* = lab^*h = 143/360 = 0.398$
 lab^*tch und lab^*nch

D65: Bunton L
LCH*Ma: 39 77 143
olv*Ma: 0.0 1.0 0.0

Dreiecks-Helligkeit



$n^* = 1,0$

Siehe ähnliche Dateien: <http://www.ps.bam.de/VG24/>

Technische Information: <http://www.ps.bam.de> Version 2.1, io=1/1, CIEXYZ

FRS06; adaptierte CIELAB-Daten

	$L^*=L^*_a$	a^*_a	b^*_a	$C^*_{ab,a}$	$h^*_{ab,a}$
O _{Ma}	32.57	62.32	46.49	77.75	37
Y _{Ma}	82.73	-3.16	113.99	114.03	92
L _{Ma}	39.43	-61.79	45.84	76.95	143
C _{Ma}	47.86	-26.79	-34.24	43.49	232
V _{Ma}	10.16	55.12	-61.03	82.24	312
M _{Ma}	34.5	80.68	-33.92	87.52	337
N _{Ma}	6.25	0.0	0.0	0.0	0
W _{Ma}	91.97	0.0	0.0	0.0	0
R _{CIE}	39.92	59.8	31.05	67.38	27
J _{CIE}	81.26	-2.52	76.25	76.29	92
G _{CIE}	52.23	-41.56	17.14	44.96	158
B _{CIE}	30.57	2.63	-43.77	43.86	273

Technische Information: <http://www.ps.bam.de> Version 2.1, io=1/1, CIEXYZ

Ausgabe: Farbmétrisches Drucker-Reflektiv-System FRS06

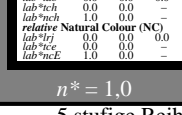
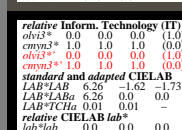
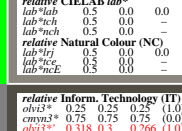
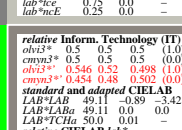
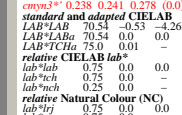
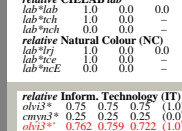
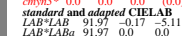
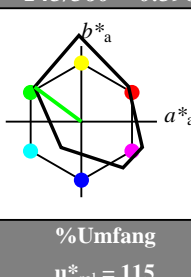
für Bunton $h^* = lab^*h = 143/360 = 0.398$
 lab^*tch und lab^*nch

D65: Bunton L

LCH*Ma: 39 77 143

olv*Ma: 0.0 1.0 0.0

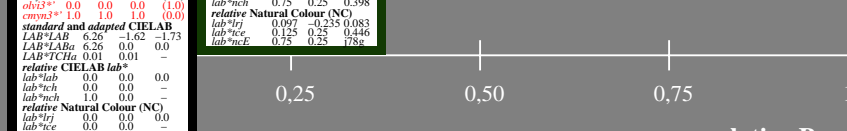
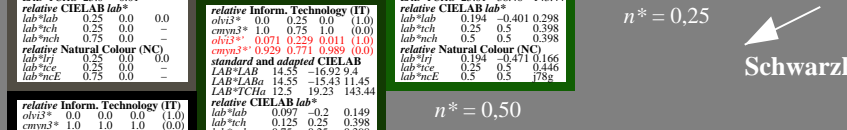
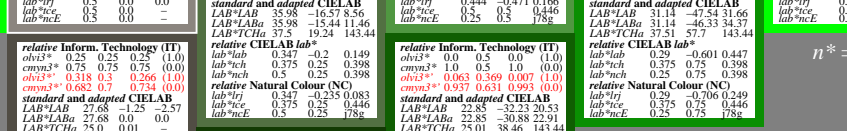
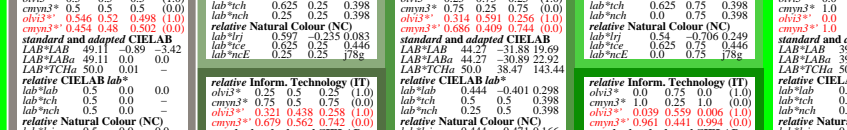
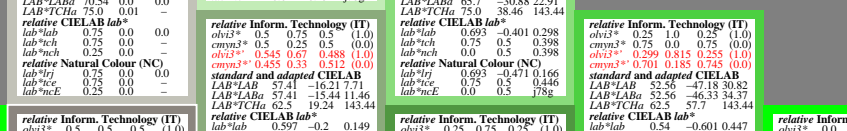
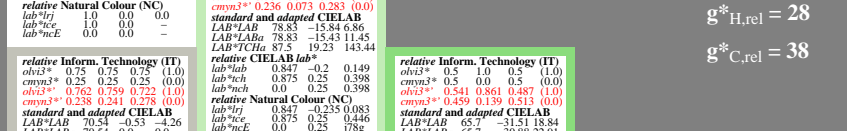
Dreiecks-Helligkeit



$n^* = 1,0$

FRS06; adaptierte CIELAB-Daten

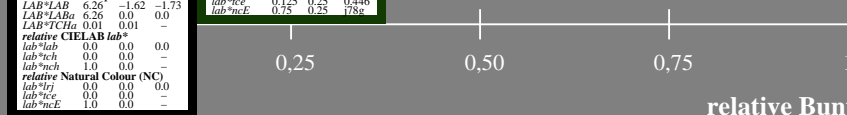
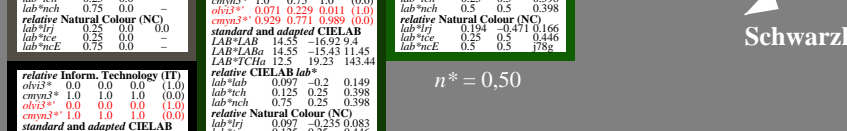
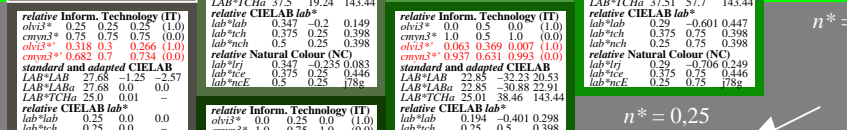
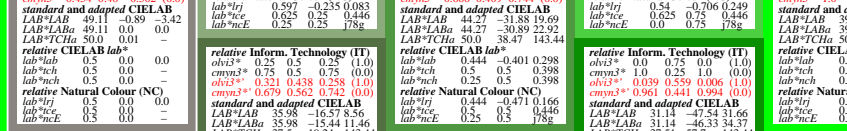
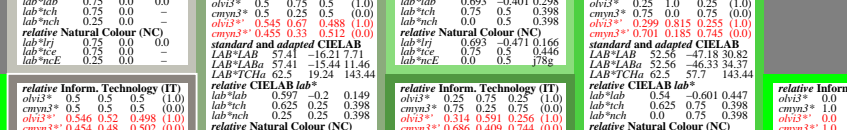
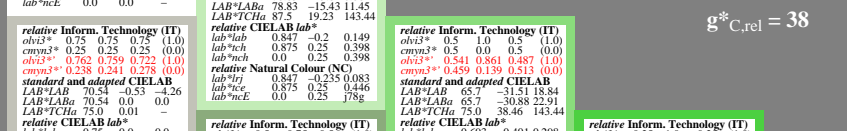
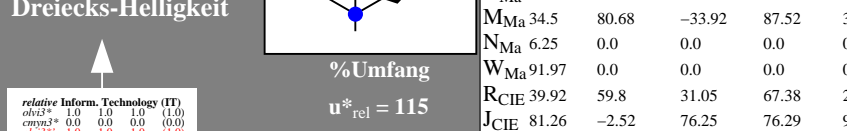
	$L^*=L^*_a$	a^*_a	b^*_a	$C^*_{ab,a}$	$h^*_{ab,a}$
O _{Ma}	32.57	62.32	46.49	77.75	37
Y _{Ma}	82.73	-3.16	113.99	114.03	92
L _{Ma}	39.43	-61.79	45.84	76.95	143
C _{Ma}	47.86	-26.79	-34.24	43.49	232
V _{Ma}	10.16	55.12	-61.03	82.24	312
M _{Ma}	34.5	80.68	-33.92	87.52	337
N _{Ma}	6.25	0.0	0.0	0.0	0
W _{Ma}	91.97	0.0	0.0	0.0	0
R _{CIE}	39.92	59.8	31.05	67.38	27
J _{CIE}	81.26	-2.52	76.25	76.29	92
G _{CIE}	52.23	-41.56	17.14	44.96	158
B _{CIE}	30.57	2.63	-43.77	43.86	273



$n^* = 1,0$

FRS06; adaptierte CIELAB-Daten

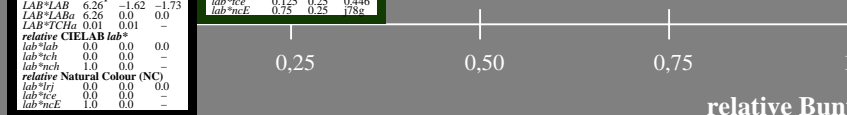
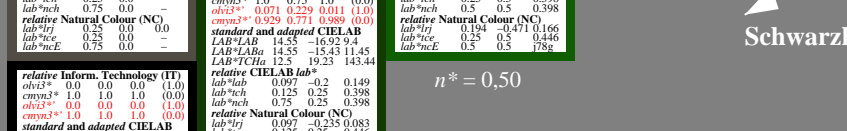
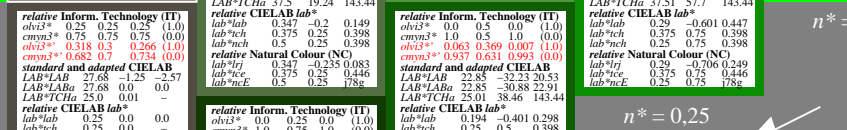
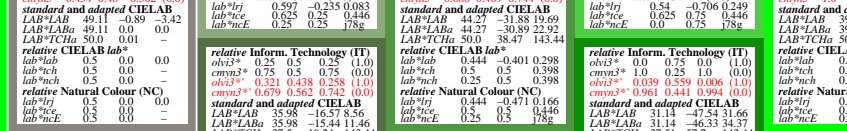
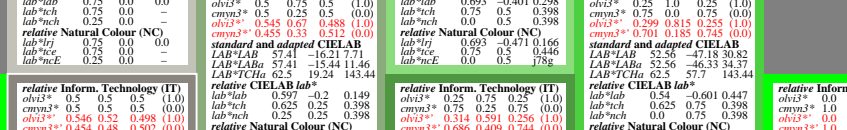
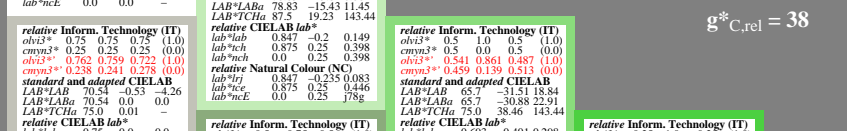
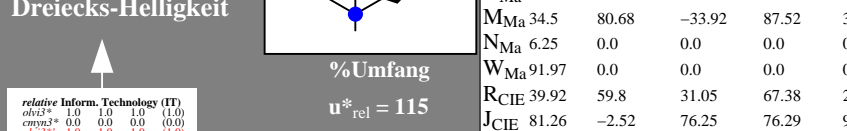
	$L^*=L^*_a$	a^*_a	b^*_a	$C^*_{ab,a}$	$h^*_{ab,a}$
O _{Ma}	32.57	62.32	46.49	77.75	37
Y _{Ma}	82.73	-3.16	113.99	114.03	92
L _{Ma}	39.43	-61.79	45.84	76.95	143
C _{Ma}	47.86	-26.79	-34.24	43.49	232
V _{Ma}	10.16	55.12	-61.03	82.24	312
M _{Ma}	34.5	80.68	-33.92	87.52	337
N _{Ma}	6.25	0.0	0.0	0.0	0
W _{Ma}	91.97	0.0	0.0	0.0	0
R _{CIE}	39.92	59.8	31.05	67.38	27
J _{CIE}	81.26	-2.52	76.25	76.29	92
G _{CIE}	52.23	-41.56	17.14	44.96	158
B _{CIE}	30.57	2.63	-43.77	43.86	273



$n^* = 1,0$

FRS06; adaptierte CIELAB-Daten

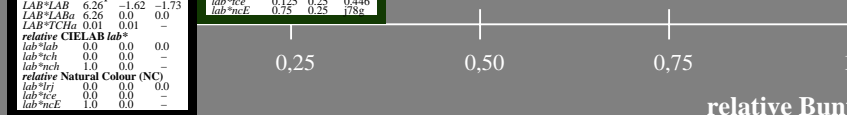
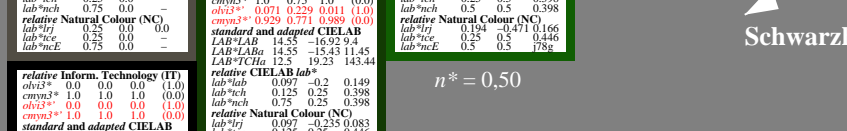
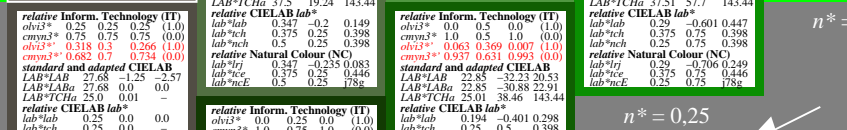
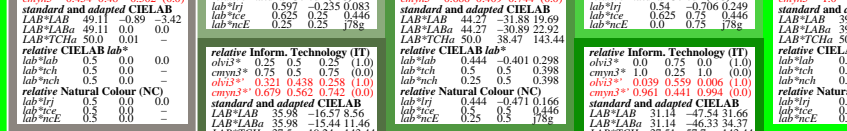
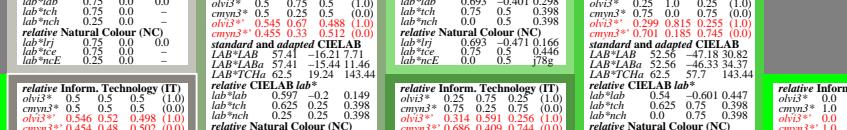
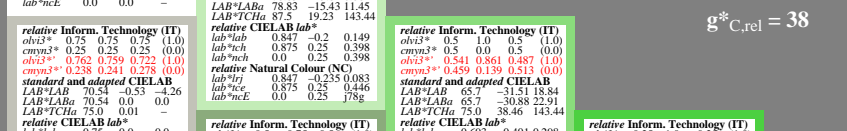
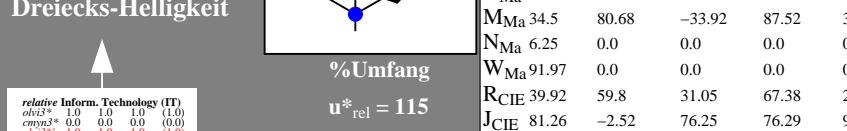
	$L^*=L^*_a$	a^*_a	b^*_a	$C^*_{ab,a}$	$h^*_{ab,a}$
O _{Ma}	32.57	62.32	46.49	77.75	37
Y _{Ma}	82.73	-3.16	113.99	114.03	92
L _{Ma}	39.43	-61.79	45.84	76.95	143
C _{Ma}	47.86	-26.79	-34.24	43.49	232
V _{Ma}	10.16	55.12	-61.03	82.24	312
M _{Ma}	34.5	80.68	-33.92	87.52	337
N _{Ma}	6.25	0.0	0.0	0.0	0
W _{Ma}	91.97	0.0	0.0	0.0	0
R _{CIE}	39.92	59.8	31.05	67.38	27
J _{CIE}	81.26	-2.52	76.25	76.29	92
G _{CIE}	52.23	-41.56	17.14	44.96	158
B _{CIE}	30.57	2.63	-43.77	43.86	273



$n^* = 1,0$

FRS06; adaptierte CIELAB-Daten

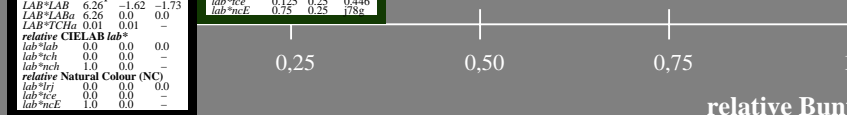
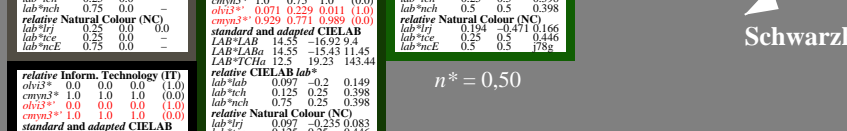
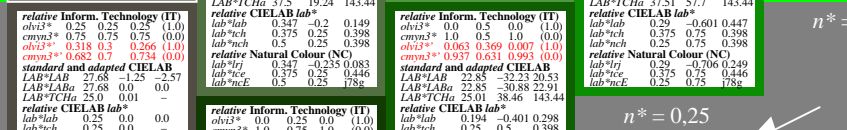
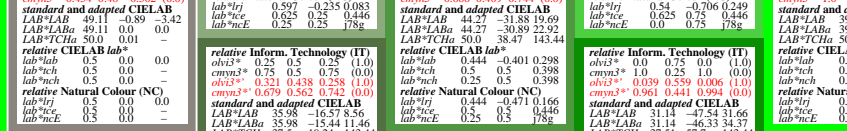
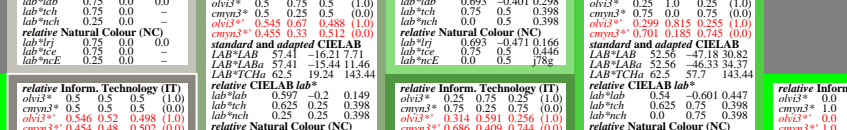
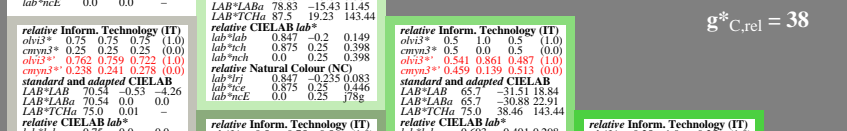
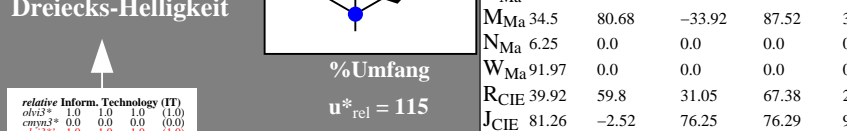
	$L^*=L^*_a$	a^*_a	b^*_a	$C^*_{ab,a}$	$h^*_{ab,a}$
O _{Ma}	32.57	62.32	46.49	77.75	37
Y _{Ma}	82.73	-3.16	113.99	114.03	92
L _{Ma}	39.43	-61.79	45.84	76.95	143
C _{Ma}	47.86	-26.79	-34.24	43.49	232
V _{Ma}	10.16	55.12	-61.03	82.24	312
M _{Ma}	34.5	80.68	-33.92	87.52	337
N _{Ma}	6.25	0.0	0.0	0.0	0
W _{Ma}	91.97	0.0	0.0	0.0	0
R _{CIE}	39.92	59.8	31.05	67.38	27
J _{CIE}	81.26	-2.52	76.25	76.29	92
G _{CIE}	52.23	-41.56	17.14	44.96	158
B _{CIE}	30.57	2.63	-43.77	43.86	273



$n^* = 1,0$

FRS06; adaptierte CIELAB-Daten

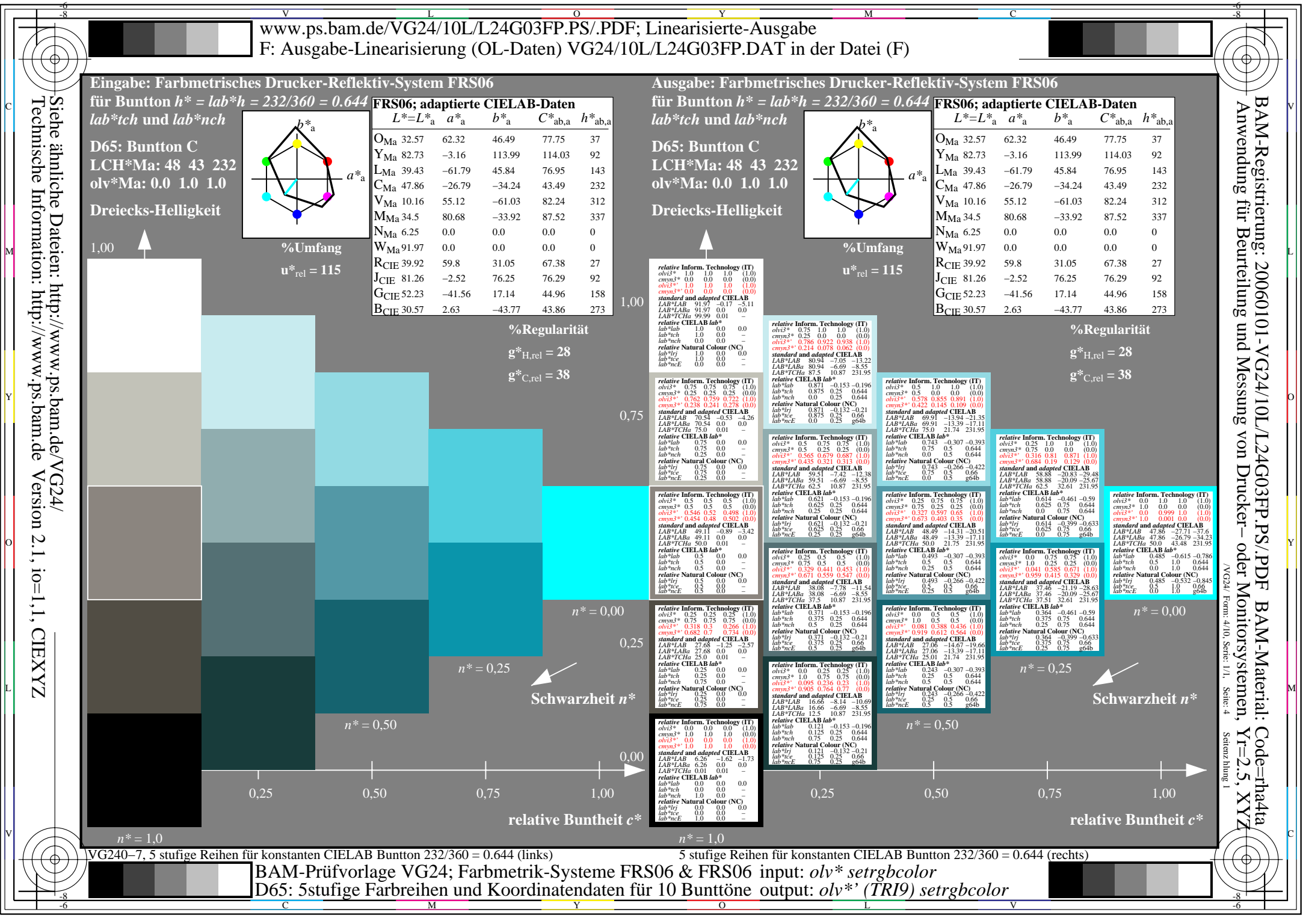
	$L^*=L^*_a$	a^*_a	b^*_a	$C^*_{ab,a}$	$h^*_{ab,a}$
O _{Ma}	32.57	62.32	46.49	77.75	37
Y _{Ma}	82.73	-3.16	113.99	114.03	92
L _{Ma}	39.43	-61.79	45.84	76.95	143
C _{Ma}	47.86	-26.79	-34.24	43.49	232
V _{Ma}	10.16	55.12	-61.03	82.24	312
M _{Ma}	34.5	80.68	-33.92	87.52	337
N _{Ma}	6.25	0.0	0.0	0.0	0
W _{Ma}	91.97	0.0	0.0	0.0	0
R _{CIE}	39.92	59.8	31.05	67.38	27
J _{CIE}	81.26	-2.52	76.25	76.29	92
G _{CIE}	52.23	-41.56	17.14	44.96	158
B _{CIE}	30.57	2.63	-43.77	43.86	273



$n^* = 1,0$

FRS06; adaptierte CIELAB-Daten

	$L^*=L^*_a$	a^*_a	b^*_a	$C^*_{ab,a}$	h^*_{ab





Eingabe: Farbmétrisches Drucker-Reflektiv-System FRS06

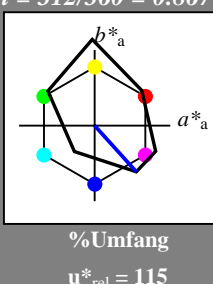
für Bunton $h^* = lab^*h = 312/360 = 0.867$
 lab^*tch und lab^*nch

D65: Bunton V

LCH*Ma: 10 82 312

olv*Ma: 0.0 0.0 1.0

Dreiecks-Helligkeit



1,00



%Umfang

$u^*_{rel} = 115$

FRS06; adaptierte CIELAB-Daten

	$L^*=L^*_a$	a^*_a	b^*_a	$C^*_{ab,a}$	$h^*_{ab,a}$
O _{Ma}	32.57	62.32	46.49	77.75	37
Y _{Ma}	82.73	-3.16	113.99	114.03	92
L _{Ma}	39.43	-61.79	45.84	76.95	143
C _{Ma}	47.86	-26.79	-34.24	43.49	232
V _{Ma}	10.16	55.12	-61.03	82.24	312
M _{Ma}	34.5	80.68	-33.92	87.52	337
N _{Ma}	6.25	0.0	0.0	0.0	0
W _{Ma}	91.97	0.0	0.0	0.0	0
R _{CIE}	39.92	59.8	31.05	67.38	27
J _{CIE}	81.26	-2.52	76.25	76.29	92
G _{CIE}	52.23	-41.56	17.14	44.96	158
B _{CIE}	30.57	2.63	-43.77	43.86	273

Ausgabe: Farbmétrisches Drucker-Reflektiv-System FRS06

für Bunton $h^* = lab^*h = 312/360 = 0.867$

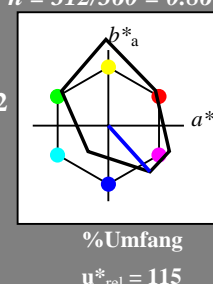
lab^*tch und lab^*nch

D65: Bunton V

LCH*Ma: 10 82 312

olv*Ma: 0.0 0.0 1.0

Dreiecks-Helligkeit



1,00



%Umfang

$u^*_{rel} = 115$

%Regularität

$g^*_{H,rel} = 28$

$g^*_{C,rel} = 38$

1,00

%Regularität

$g^*_{H,rel} = 28$

$g^*_{C,rel} = 38$

0,75

%Regularität

$g^*_{H,rel} = 28$

$g^*_{C,rel} = 38$

0,50

%Regularität

$g^*_{H,rel} = 28$

$g^*_{C,rel} = 38$

0,25

%Regularität

$g^*_{H,rel} = 28$

$g^*_{C,rel} = 38$

0,00

%Regularität

$g^*_{H,rel} = 28$

$g^*_{C,rel} = 38$

$n^* = 0,00$

$n^* = 0,25$

$n^* = 0,50$

$n^* = 0,75$

$n^* = 1,00$

relative Buntheit c^*

$n^* = 1,0$

$n^* = 0,50$

$n^* = 0,00$

relative Buntheit c^*

$n^* = 1,0$

$n^* = 0,50$

$n^* = 0,00$

relative Buntheit c^*

$n^* = 1,0$

$n^* = 0,50$

$n^* = 0,00$

relative Buntheit c^*

$n^* = 1,0$

$n^* = 0,50$

$n^* = 0,00$

relative Buntheit c^*

$n^* = 1,0$

$n^* = 0,50$

$n^* = 0,00$

relative Buntheit c^*

$n^* = 1,0$

$n^* = 0,50$

$n^* = 0,00$

relative Buntheit c^*

$n^* = 1,0$

$n^* = 0,50$

$n^* = 0,00$

relative Buntheit c^*

$n^* = 1,0$

$n^* = 0,50$

$n^* = 0,00$

relative Buntheit c^*

$n^* = 1,0$

$n^* = 0,50$

$n^* = 0,00$

relative Buntheit c^*

$n^* = 1,0$

$n^* = 0,50$

$n^* = 0,00$

relative Buntheit c^*

$n^* = 1,0$

$n^* = 0,50$

$n^* = 0,00$

relative Buntheit c^*

$n^* = 1,0$

$n^* = 0,50$

$n^* = 0,00$

relative Buntheit c^*

$n^* = 1,0$

$n^* = 0,50$

$n^* = 0,00$

relative Buntheit c^*

$n^* = 1,0$

$n^* = 0,50$

$n^* = 0,00$

relative Buntheit c^*

$n^* = 1,0$

$n^* = 0,50$

$n^* = 0,00$

relative Buntheit c^*

$n^* = 1,0$

$n^* = 0,50$

$n^* = 0,00$

relative Buntheit c^*

$n^* = 1,0$

$n^* = 0,50$

$n^* = 0,00$

relative Buntheit c^*

$n^* = 1,0$

$n^* = 0,50$

$n^* = 0,00$

relative Buntheit c^*

$n^* = 1,0$

$n^* = 0,50$

$n^* = 0,00$

relative Buntheit c^*

$n^* = 1,0$

$n^* = 0,50$

$n^* = 0,00$

relative Buntheit c^*

$n^* = 1,0$

$n^* = 0,50$

$n^* = 0,00$

relative Buntheit c^*

$n^* = 1,0$

$n^* = 0,50$

$n^* = 0,00$

relative Buntheit c^*

$n^* = 1,0$

$n^* = 0,50$

$n^* = 0,00$

relative Buntheit c^*

$n^* = 1,0$

$n^* = 0,50$

$n^* = 0,00$

relative Buntheit c^*

$n^* = 1,0$

$n^* = 0,50$

$n^* = 0,00$

relative Buntheit c^*

$n^* = 1,0$

$n^* = 0,50$

$n^* = 0,00$

relative Buntheit c^*

$n^* = 1,0$

$n^* = 0,50$

$n^* = 0,00$

relative Buntheit c^*

$n^* = 1,0$

$n^* = 0,50$

$n^* = 0,00$

relative Buntheit c^*

$n^* = 1,0$

$n^* = 0,50$

$n^* = 0,00$

relative Buntheit c^*

$n^* = 1,0$

$n^* = 0,50$

$n^* = 0,00$

relative Buntheit c^*

$n^* = 1,0$

$n^* = 0,50$

$n^* = 0,00$

relative Buntheit c^*

$n^* = 1,0$

$n^* = 0,50$

$n^* = 0,00$

relative Buntheit c^*

$n^* = 1,0$

$n^* = 0,50$

$n^* = 0,00$

relative Buntheit c^*

$n^* = 1,0$

$n^* = 0,50$

$n^* = 0,00$

relative Buntheit c^*

$n^* = 1,0$

$n^* = 0,50$

$n^* = 0,00$

relative Buntheit c^*

$n^* = 1,0$

$n^* = 0,50$

$n^* = 0,00$

relative Buntheit c^*

$n^* = 1,0$

$n^* = 0,50$

$n^* = 0,00$

relative Buntheit c^*

$n^* = 1,0$

$n^* = 0,50$

$n^* = 0,00$

relative Buntheit c^*

$n^* = 1,0$

$n^* = 0,50$

$n^* = 0,00$

relative Buntheit c^*

$n^* = 1,0$

$n^* = 0,50$

$n^* = 0,00$

relative Buntheit c^*

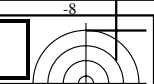
$n^* = 1,0$

$n^* = 0,50$

$n^* = 0,00$

relative Buntheit c^*

$n^* = 1,0$



Eingabe: Farbmétrisches Drucker-Reflektiv-System FRS06

für Bunton $h^* = lab^*h = 337/360 = 0.937$

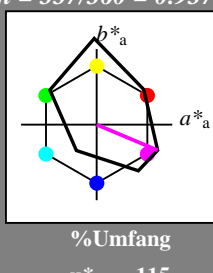
lab^*tch und lab^*nch

D65: Bunton M

LCH*Ma: 35 88 337

olv*Ma: 1.0 0.0 1.0

Dreiecks-Helligkeit



1,00 ↑



VG24/

L

V

-8

-6

Siehe ähnliche Dateien: <http://www.ps.bam.de/VG24/>

Technische Information: <http://www.ps.bam.de>

Version 2.1, io=11, CIEXYZ

FRS06; adaptierte CIELAB-Daten

	$L^*=L^*_a$	a^*_a	b^*_a	$C^*_{ab,a}$	$h^*_{ab,a}$
O _{Ma}	32.57	62.32	46.49	77.75	37
Y _{Ma}	82.73	-3.16	113.99	114.03	92
L _{Ma}	39.43	-61.79	45.84	76.95	143
C _{Ma}	47.86	-26.79	-34.24	43.49	232
V _{Ma}	10.16	55.12	-61.03	82.24	312
M _{Ma}	34.5	80.68	-33.92	87.52	337
N _{Ma}	6.25	0.0	0.0	0.0	0
W _{Ma}	91.97	0.0	0.0	0.0	0
R _{CIE}	39.92	59.8	31.05	67.38	27
J _{CIE}	81.26	-2.52	76.25	76.29	92
G _{CIE}	52.23	-41.56	17.14	44.96	158
B _{CIE}	30.57	2.63	-43.77	43.86	273

Ausgabe: Farbmétrisches Drucker-Reflektiv-System FRS06

für Bunton $h^* = lab^*h = 337/360 = 0.937$

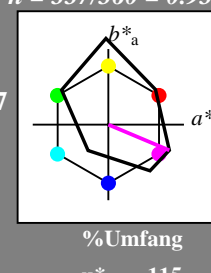
lab^*tch und lab^*nch

D65: Bunton M

LCH*Ma: 35 88 337

olv*Ma: 1.0 0.0 1.0

Dreiecks-Helligkeit



1,00 ↑

	$L^*=L^*_a$	a^*_a	b^*_a	$C^*_{ab,a}$	$h^*_{ab,a}$
O _{Ma}	32.57	62.32	46.49	77.75	37
Y _{Ma}	82.73	-3.16	113.99	114.03	92
L _{Ma}	39.43	-61.79	45.84	76.95	143
C _{Ma}	47.86	-26.79	-34.24	43.49	232
V _{Ma}	10.16	55.12	-61.03	82.24	312
M _{Ma}	34.5	80.68	-33.92	87.52	337
N _{Ma}	6.25	0.0	0.0	0.0	0
W _{Ma}	91.97	0.0	0.0	0.0	0
R _{CIE}	39.92	59.8	31.05	67.38	27
J _{CIE}	81.26	-2.52	76.25	76.29	92
G _{CIE}	52.23	-41.56	17.14	44.96	158
B _{CIE}	30.57	2.63	-43.77	43.86	273

	$L^*=L^*_a$	a^*_a	b^*_a	$C^*_{ab,a}$	$h^*_{ab,a}$
O _{Ma}	32.57	62.32	46.49	77.75	37
Y _{Ma}	82.73	-3.16	113.99	114.03	92
L _{Ma}	39.43	-61.79	45.84	76.95	143
C _{Ma}	47.86	-26.79	-34.24	43.49	232
V _{Ma}	10.16	55.12	-61.03	82.24	312
M _{Ma}	34.5	80.68	-33.92	87.52	337
N _{Ma}	6.25	0.0	0.0	0.0	0
W _{Ma}	91.97	0.0	0.0	0.0	0
R _{CIE}	39.92	59.8	31.05	67.38	27
J _{CIE}	81.26	-2.52	76.25	76.29	92
G _{CIE}	52.23	-41.56	17.14	44.96	158
B _{CIE}	30.57	2.63	-43.77	43.86	273

	$L^*=L^*_a$	a^*_a	b^*_a	$C^*_{ab,a}$	$h^*_{ab,a}$
O _{Ma}	32.57	62.32	46.49	77.75	37
Y _{Ma}	82.73	-3.16	113.99	114.03	92
L _{Ma}	39.43	-61.79	45.84	76.95	143
C _{Ma}	47.86	-26.79	-34.24	43.49	232
V _{Ma}	10.16	55.12	-61.03	82.24	312
M _{Ma}	34.5	80.68	-33.92	87.52	337
N _{Ma}	6.25	0.0	0.0	0.0	0
W _{Ma}	91.97	0.0	0.0	0.0	0
R _{CIE}	39.92	59.8	31.05	67.38	27
J _{CIE}	81.26	-2.52	76.25	76.29	92
G _{CIE}	52.23	-41.56	17.14	44.96	158
B _{CIE}	30.57	2.63	-43.77	43.86	273

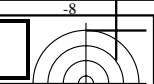
	$L^*=L^*_a$	a^*_a	b^*_a	$C^*_{ab,a}$	$h^*_{ab,a}$
O _{Ma}	32.57	62.32	46.49	77.75	37
Y _{Ma}	82.73	-3.16	113.99	114.03	92
L _{Ma}	39.43	-61.79	45.84	76.95	143
C _{Ma}	47.86	-26.79	-34.24	43.49	232
V _{Ma}	10.16	55.12	-61.03	82.24	312
M _{Ma}	34.5	80.68	-33.92	87.52	337
N _{Ma}	6.25	0.0	0.0	0.0	0
W _{Ma}	91.97	0.0	0.0	0.0	0
R _{CIE}	39.92	59.8	31.05	67.38	27
J _{CIE}	81.26	-2.52	76.25	76.29	92
G _{CIE}	52.23	-41.56	17.14	44.96	158
B _{CIE}	30.57	2.63	-43.77	43.86	273

	$L^*=L^*_a$	a^*_a	b^*_a	$C^*_{ab,a}$	$h^*_{ab,a}$
O _{Ma}	32.57	62.32	46.49	77.75	37
Y _{Ma}	82.73	-3.16	113.99	114.03	92
L _{Ma}	39.43	-61.79	45.84	76.95	143
C _{Ma}	47.86	-26.79	-34.24	43.49	232
V _{Ma}	10.16	55.12	-61.03	82.24	312
M _{Ma}	34.5	80.68	-33.92	87.52	337
N _{Ma}	6.25	0.0	0.0	0.0	0
W _{Ma}	91.97	0.0	0.0	0.0	0
R _{CIE}	39.92	59.8	31.05	67.38	27
J _{CIE}	81.26	-2.52	76.25	76.29	92
G _{CIE}	52.23	-41.56	17.14	44.96	158
B _{CIE}	30.57	2.63	-43.77	43.86	273

	$L^*=L^*_a$	a^*_a	b^*_a	$C^*_{ab,a}$	$h^*_{ab,a}$
O _{Ma}	32.57	62.32	46.49	77.75	37
Y _{Ma}	82.73	-3.16	113.99	114.03	92
L _{Ma}	39.43	-61.79	45.84	76.95	143
C _{Ma}	47.86	-26.79	-34.24	43.49	232
V _{Ma}	10.16	55.12	-61.03	82.24	312
M _{Ma}	34.5	80.68	-33.92	87.52	337
N _{Ma}	6.25	0.0	0.0	0.0	0
W _{Ma}	91.97	0.0	0.0	0.0	0
R _{CIE}	39.92	59.8	31.05	67.38	27
J _{CIE}	81.26	-2.52	76.25	76.29	92
G _{CIE}	52.23	-41.56	17.14	44.96	158
B _{CIE}	30.57	2.63	-43.77	43.86	273

	$L^*=L^*_a$	a^*_a	b^*_a	$C^*_{ab,a}$	$h^*_{ab,a}$
O _{Ma}	32.57	62.32	46.49	77.75	37
Y _{Ma}	82.73	-3.16	113.99	114.03	92
L _{Ma}	39.43	-61.79	45.84	76.95	143
C _{Ma}	47.86	-26.79	-34.24	43.49	232
V _{Ma}	10.16	55.12	-61.03	82.24	312
M _{Ma}	34.5	80.68	-33.92	87.52	337
N _{Ma}	6.25	0.0	0.0	0.0	0
W _{Ma}	91.97	0.0	0.0	0.0	0
R _{CIE}	39.92	59.8	31.05	67.38	27
J _{CIE}	81.26	-2.52	76.25	76.29	92
G _{CIE}	52.23	-41.56	17.14	44.96	158
B _{CIE}	30.57	2.63	-43.77	43.86	273

	$L^*=L^*_a$	a^*_a	b^*_a	$C^*_{ab,a}$	$h^*_{ab,a}$
O _{Ma}	32.57	62.32	46.49	77.75	37
Y _{Ma}	82.73	-3.16	113.99	114.03	92
L _{Ma}	39.43	-61.79	45.84	76.95	143
C _{Ma}	47.86	-26.79	-34.24	43.49	232
V _{Ma}	10.16	55.12	-61.03	82.24	312
M _{Ma}	34.5	80.68	-33.92	87.52	337
N _{Ma}	6.25	0.0	0.0	0.0	0
W _{Ma}					



Eingabe: Farbmétrisches Drucker-Reflektiv-System FRS06

für Bunton $h^* = lab^*h = 27/360 = 0.076$

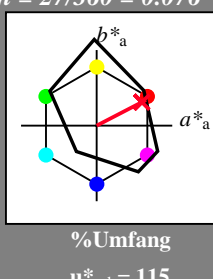
lab^{*tch} und lab^{*nch}

D65: Bunton R

LCH*Ma: 33 73 27

olv*Ma: 1.0 0.0 0.16

Dreiecks-Helligkeit

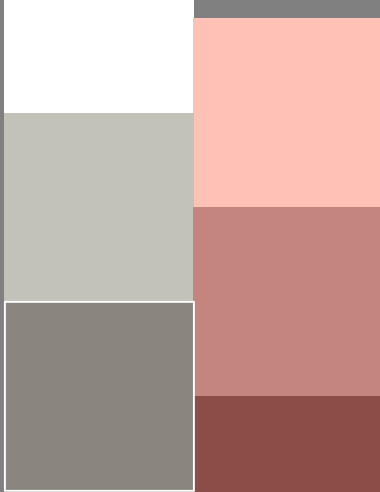


1,00



%Umfang

$u^*_{rel} = 115$



FRS06; adaptierte CIELAB-Daten

	$L^*=L^*_a$	a^*_a	b^*_a	$C^*_{ab,a}$	$h^*_{ab,a}$
O _{Ma}	32.57	62.32	46.49	77.75	37
Y _{Ma}	82.73	-3.16	113.99	114.03	92
L _{Ma}	39.43	-61.79	45.84	76.95	143
C _{Ma}	47.86	-26.79	-34.24	43.49	232
V _{Ma}	10.16	55.12	-61.03	82.24	312
M _{Ma}	34.5	80.68	-33.92	87.52	337
N _{Ma}	6.25	0.0	0.0	0.0	0
W _{Ma}	91.97	0.0	0.0	0.0	0
R _{CIE}	39.92	59.8	31.05	67.38	27
J _{CIE}	81.26	-2.52	76.25	76.29	92
G _{CIE}	52.23	-41.56	17.14	44.96	158
B _{CIE}	30.57	2.63	-43.77	43.86	273

Ausgabe: Farbmétrisches Drucker-Reflektiv-System FRS06

für Bunton $h^* = lab^*h = 27/360 = 0.076$

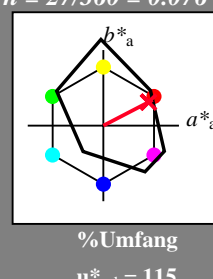
lab^{*tch} und lab^{*nch}

D65: Bunton R

LCH*Ma: 33 73 27

olv*Ma: 1.0 0.0 0.16

Dreiecks-Helligkeit



1,00



%Umfang

$u^*_{rel} = 115$

%Regularität

$g^*_{H,rel} = 28$

$g^*_{C,rel} = 38$

relative Inform. Technology (IT)

olv^{*3} : 1.0 0.0 0.0 (1.0)

cmy^{*3} : 0.25 0.25 0.0 (0.0)

olv^{*3} : 0.0 0.0 0.0 (0.0)

cmy^{*3} : 0.0 0.0 0.0 (0.0)

olv^{*3} : 0.996 0.755 0.714 (1.0)

cmy^{*3} : 0.0 0.0 0.0 (0.0)

olv^{*3} : 0.0 0.0 0.0 (0.0)

cmy^{*3} : 0.0 0.0 0.0 (0.0)

standard and adapted CIELAB

lab^{*tch} : 0.0 0.0 0.0 (0.0)

lab^{*nch} : 0.0 0.0 0.0 (0.0)

lab^{*tch} : 0.0 0.0 0.0 (0.0)

lab^{*tch} : 0.0 0.0 0.0 (0.0)

lab^{*nch} : 0.0 0.0 0.0 (0.0)

lab^{*tch} : 0.0 0.0 0.0 (0.0)

lab^{*nch} : 0.0 0.0 0.0 (0.0)

lab^{*tch} : 0.0 0.0 0.0 (0.0)

lab^{*nch} : 0.0 0.0 0.0 (0.0)

lab^{*tch} : 0.0 0.0 0.0 (0.0)

lab^{*nch} : 0.0 0.0 0.0 (0.0)

lab^{*tch} : 0.0 0.0 0.0 (0.0)

lab^{*nch} : 0.0 0.0 0.0 (0.0)

lab^{*tch} : 0.0 0.0 0.0 (0.0)

lab^{*nch} : 0.0 0.0 0.0 (0.0)

lab^{*tch} : 0.0 0.0 0.0 (0.0)

lab^{*nch} : 0.0 0.0 0.0 (0.0)

lab^{*tch} : 0.0 0.0 0.0 (0.0)

lab^{*nch} : 0.0 0.0 0.0 (0.0)

lab^{*tch} : 0.0 0.0 0.0 (0.0)

lab^{*nch} : 0.0 0.0 0.0 (0.0)

lab^{*tch} : 0.0 0.0 0.0 (0.0)

lab^{*nch} : 0.0 0.0 0.0 (0.0)

lab^{*tch} : 0.0 0.0 0.0 (0.0)

lab^{*nch} : 0.0 0.0 0.0 (0.0)

lab^{*tch} : 0.0 0.0 0.0 (0.0)

lab^{*nch} : 0.0 0.0 0.0 (0.0)

lab^{*tch} : 0.0 0.0 0.0 (0.0)

lab^{*nch} : 0.0 0.0 0.0 (0.0)

lab^{*tch} : 0.0 0.0 0.0 (0.0)

lab^{*nch} : 0.0 0.0 0.0 (0.0)

lab^{*tch} : 0.0 0.0 0.0 (0.0)

lab^{*nch} : 0.0 0.0 0.0 (0.0)

lab^{*tch} : 0.0 0.0 0.0 (0.0)

lab^{*nch} : 0.0 0.0 0.0 (0.0)

lab^{*tch} : 0.0 0.0 0.0 (0.0)

lab^{*nch} : 0.0 0.0 0.0 (0.0)

lab^{*tch} : 0.0 0.0 0.0 (0.0)

lab^{*nch} : 0.0 0.0 0.0 (0.0)

lab^{*tch} : 0.0 0.0 0.0 (0.0)

lab^{*nch} : 0.0 0.0 0.0 (0.0)

lab^{*tch} : 0.0 0.0 0.0 (0.0)

lab^{*nch} : 0.0 0.0 0.0 (0.0)

lab^{*tch} : 0.0 0.0 0.0 (0.0)

lab^{*nch} : 0.0 0.0 0.0 (0.0)

lab^{*tch} : 0.0 0.0 0.0 (0.0)

lab^{*nch} : 0.0 0.0 0.0 (0.0)

lab^{*tch} : 0.0 0.0 0.0 (0.0)

lab^{*nch} : 0.0 0.0 0.0 (0.0)

lab^{*tch} : 0.0 0.0 0.0 (0.0)

lab^{*nch} : 0.0 0.0 0.0 (0.0)

lab^{*tch} : 0.0 0.0 0.0 (0.0)

lab^{*nch} : 0.0 0.0 0.0 (0.0)

lab^{*tch} : 0.0 0.0 0.0 (0.0)

lab^{*nch} : 0.0 0.0 0.0 (0.0)

lab^{*tch} : 0.0 0.0 0.0 (0.0)

lab^{*nch} : 0.0 0.0 0.0 (0.0)

lab^{*tch} : 0.0 0.0 0.0 (0.0)

lab^{*nch} : 0.0 0.0 0.0 (0.0)

lab^{*tch} : 0.0 0.0 0.0 (0.0)

lab^{*nch} : 0.0 0.0 0.0 (0.0)

lab^{*tch} : 0.0 0.0 0.0 (0.0)

lab^{*nch} : 0.0 0.0 0.0 (0.0)

lab^{*tch} : 0.0 0.0 0.0 (0.0)

lab^{*nch} : 0.0 0.0 0.0 (0.0)

lab^{*tch} : 0.0 0.0 0.0 (0.0)

lab^{*nch} : 0.0 0.0 0.0 (0.0)

lab^{*tch} : 0.0 0.0 0.0 (0.0)

lab^{*nch} : 0.0 0.0 0.0 (0.0)

lab^{*tch} : 0.0 0.0 0.0 (0.0)

lab^{*nch} : 0.0 0.0 0.0 (0.0)

lab^{*tch} : 0.0 0.0 0.0 (0.0)

lab^{*nch} : 0.0 0.0 0.0 (0.0)

lab^{*tch} : 0.0 0.0 0.0 (0.0)

lab^{*nch} : 0.0 0.0 0.0 (0.0)

lab^{*tch} : 0.0 0.0 0.0 (0.0)

lab^{*nch} : 0.0 0.0 0.0 (0.0)

lab^{*tch} : 0.0 0.0 0.0 (0.0)

lab^{*nch} : 0.0 0.0 0.0 (0.0)

lab^{*tch} : 0.0 0.0 0.0 (0.0)

lab^{*nch} : 0.0 0.0 0.0 (0.0)

lab^{*tch} : 0.0 0.0 0.0 (0.0)

lab^{*nch} : 0.0 0.0 0.0 (0.0)

lab^{*tch} : 0.0 0.0 0.0 (0.0)

lab^{*nch} : 0.0 0.0 0.0 (0.0)

lab^{*tch} : 0.0 0.0 0.0 (0.0)

lab^{*nch} : 0.0 0.0 0.0 (0.0)

lab^{*tch} : 0.0 0.0 0.0 (0.0)

lab^{*nch} : 0.0 0.0 0.0 (0.0)

lab^{*tch} : 0.0 0.0 0.0 (0.0)

lab^{*nch} : 0.0 0.0 0.0 (0.0)

lab^{*tch} : 0.0 0.0 0.0 (0.0)

lab^{*nch} : 0.0 0.0 0.0 (0.0)

lab^{*tch} : 0.0 0.0 0.0 (0.0)

lab^{*nch} : 0.0 0.0 0.0 (0.0)

lab^{*tch} : 0.0 0.0 0.0 (0.0)

lab^{*nch} : 0.0 0.0 0.0 (0.0)

lab^{*tch} : 0.0 0.0 0.0 (0.0)

lab^{*nch} : 0.0 0.0 0.0 (0.0)

lab^{*tch} : 0.0 0.0 0.0 (0.0)

lab^{*nch} : 0.0 0.0 0.0 (0.0)

lab^{*tch} : 0.0 0.0 0.0 (0.0)

lab^{*nch} : 0.0 0.0 0.0 (0.0)

lab^{*tch} : 0.0 0.0 0.0 (0.0)

lab^{*nch} : 0.0 0.0 0.0 (0.0)

lab^{*tch} : 0.0 0.0 0.0 (0.0)

lab^{*nch} : 0.0 0.0 0.0 (0.0)

lab^{*tch} : 0.0 0.0 0.0 (0.0)

lab^{*nch} : 0.0 0.0 0.0 (0.0)

lab^{*tch} : 0.0 0.0 0.0 (0.0)

lab^{*nch} : 0.0 0.0 0.0 (0.0)

lab^{*tch} : 0.0 0.0 0.0 (0.0)

lab^{*nch} : 0.0 0.0 0.0 (0.0)

lab^{*tch} : 0.0 0.0 0.0 (0.0)

lab^{*nch} : 0.0 0.0 0.0 (0.0)

lab^{*tch} : 0.0 0.0 0.0 (0.0)

lab^{*nch} : 0.0 0.0 0.0 (0.0)

lab^{*tch} : 0.0 0.0 0.0 (0.0)

lab^{*nch} : 0.0 0.0 0.0 (0.0)

lab^{*tch} : 0.0 0.0 0.0 (0.0)

lab^{*nch} : 0.0 0.0 0.0 (0.0)

lab^{*tch} : 0.0 0.0 0.0 (0.0)

lab^{*nch} : 0.0 0.0 0.0 (0.0)

lab^{*tch} : 0.0 0.0 0.0 (0.0)

lab^{*nch} : 0.0 0.0 0.0 (0.0)

lab^{*tch} : 0.0 0.0 0.0 (0.0)

lab^{*nch} : 0.0 0.0 0.0 (0.0)

lab^{*tch} : 0.0 0.0 0.0 (0.0)

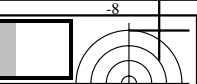
lab^{*nch} : 0.0 0.0 0.0 (0.0)

lab^{*tch} : 0.0 0.0 0.0 (0.0)

lab^{*nch} : 0.0 0.0 0.0 (0.0)

lab^{*tch} : 0.0 0.0 0.0 (0.0)

lab^{*nch} : 0.0 0.0 0.0 (0.0)



Eingabe: Farbmétrisches Drucker-Reflektiv-System FRS06

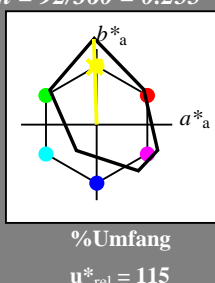
für Bunton $h^* = lab^*h = 92/360 = 0.255$
 lab^*tch und lab^*nch

D65: Bunton J

LCH*Ma: 82 113 92

olv*Ma: 0.99 1.0 0.0

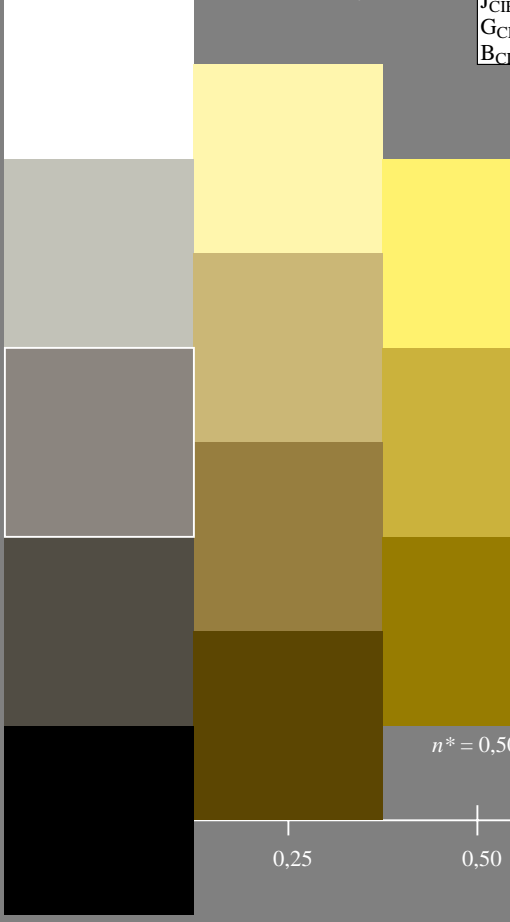
Dreiecks-Helligkeit



FRS06; adaptierte CIELAB-Daten

	$L^*=L^*_a$	a^*_a	b^*_a	$C^*_{ab,a}$	$h^*_{ab,a}$
O _{Ma}	32.57	62.32	46.49	77.75	37
Y _{Ma}	82.73	-3.16	113.99	114.03	92
L _{Ma}	39.43	-61.79	45.84	76.95	143
C _{Ma}	47.86	-26.79	-34.24	43.49	232
V _{Ma}	10.16	55.12	-61.03	82.24	312
M _{Ma}	34.5	80.68	-33.92	87.52	337
N _{Ma}	6.25	0.0	0.0	0.0	0
W _{Ma}	91.97	0.0	0.0	0.0	0
R _{CIE}	39.92	59.8	31.05	67.38	27
J _{CIE}	81.26	-2.52	76.25	76.29	92
G _{CIE}	52.23	-41.56	17.14	44.96	158
B _{CIE}	30.57	2.63	-43.77	43.86	273

%Umfang
 $u^*_{rel} = 115$



Ausgabe: Farbmétrisches Drucker-Reflektiv-System FRS06

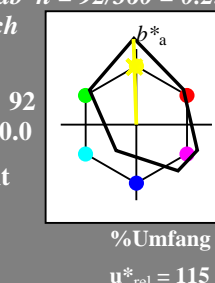
für Bunton $h^* = lab^*h = 92/360 = 0.255$
 lab^*tch und lab^*nch

D65: Bunton J

LCH*Ma: 82 113 92

olv*Ma: 0.99 1.0 0.0

Dreiecks-Helligkeit



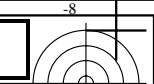
%Regularität

$g^*_{H,rel} = 28$

$g^*_{C,rel} = 38$

%Regularität

$g^*_{H,rel} = 28$

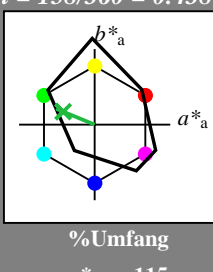


Eingabe: Farbmétrisches Drucker-Reflektiv-System FRS06

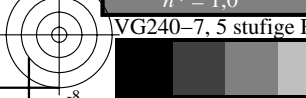
für Bunton $h^* = lab^*h = 158/360 = 0.438$
 lab^*tch und lab^*nch

D65: Bunton G
 LCH*Ma: 42 55 158
 olv*Ma: 0.0 1.0 0.31

Dreiecks-Helligkeit



1,00 ↑



n* = 1,0

V

L

O

M

C

Y

M

B

V

N

A

F

S

T

I

E

H

G

J

K

L

M

N

O

P

Q

R

S

T

U

V

W

X

Y

Z

A

B

C

D

E

F

G

H

I

J

K

L

M

N

O

P

Q

R

S

T

U

V

W

X

Y

Z

A

B

C

D

E

F

G

H

I

J

K

L

M

N

O

P

Q

R

S

T

U

V

W

X

Y

Z

A

B

C

D

E

F

G

H

I

J

K

L

M

N

O

P

Q

R

S

T

U

V

W

X

Y

Z

A

B

C

D

E

F

G

H

I

J

K

L

M

N

O

P

Q

R

S

T

U

V

W

X

Y

Z

A

B

C

D

E

F

G

H

I

J

K

L

M

N

O

P

Q

R

S

T

U

V

W

X

Y

Z

A

B

C

D

E

F

G

H

I

J

K

L

M

N

O

P

Q

R

S

T

U

V

W

X

Y

Z

A

B

C

D

E

F

G

H

I

J

K

L

M

N

O

P

Q

R

S

T

U

V

W

X

Y

Z

A

B

C

D

E

F

G

H

I

J

K

L

M

N

O

P

Q

R

S

T

U

V

W

X

Y

Z

A

B

C

D

E

F

G

H

I

J

K

L

M

N

O

P

Q

R

S

T

U

V

W

X

Y

Z

A

B

C

D

E

F

G

H

I

J

K

L

M

N

O

P

Q

R

S

T

U

V

W

X

Y

Z

A

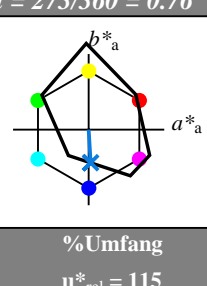
B



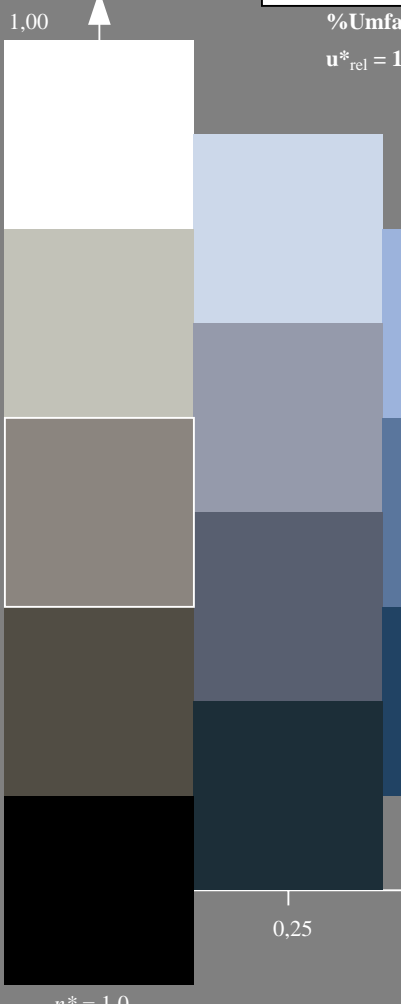
Eingabe: Farbmétrisches Drucker-Reflektiv-System FRS06
für Bunton $h^* = lab^*h = 273/360 = 0.76$
 lab^*tch und lab^*nch

D65: Bunton B
LCH*Ma: 34 44 273
olv*Ma: 0.0 0.64 1.0

Dreiecks-Helligkeit



	$L^*=L^*_a$	a^*_a	b^*_a	$C^*_{ab,a}$	$h^*_{ab,a}$
O _{Ma}	32.57	62.32	46.49	77.75	37
Y _{Ma}	82.73	-3.16	113.99	114.03	92
L _{Ma}	39.43	-61.79	45.84	76.95	143
C _{Ma}	47.86	-26.79	-34.24	43.49	232
V _{Ma}	10.16	55.12	-61.03	82.24	312
M _{Ma}	34.5	80.68	-33.92	87.52	337
N _{Ma}	6.25	0.0	0.0	0.0	0
W _{Ma}	91.97	0.0	0.0	0.0	0
R _{CIE}	39.92	59.8	31.05	67.38	27
J _{CIE}	81.26	-2.52	76.25	76.29	92
G _{CIE}	52.23	-41.56	17.14	44.96	158
B _{CIE}	30.57	2.63	-43.77	43.86	273



%Regularität

$$g^*_{H,rel} = 28$$

$$g^*_{C,rel} = 38$$

Ausgabe: Farbmétrisches Drucker-Reflektiv-System FRS06

für Bunton $h^* = lab^*h = 273/360 = 0.76$

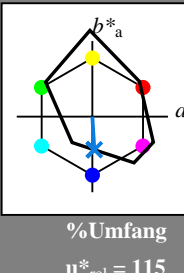
lab^*tch und lab^*nch

D65: Bunton B

LCH*Ma: 34 44 273

olv*Ma: 0.0 0.64 1.0

Dreiecks-Helligkeit



	$L^*=L^*_a$	a^*_a	b^*_a	$C^*_{ab,a}$	$h^*_{ab,a}$
O _{Ma}	32.57	62.32	46.49	77.75	37
Y _{Ma}	82.73	-3.16	113.99	114.03	92
L _{Ma}	39.43	-61.79	45.84	76.95	143
C _{Ma}	47.86	-26.79	-34.24	43.49	232
V _{Ma}	10.16	55.12	-61.03	82.24	312
M _{Ma}	34.5	80.68	-33.92	87.52	337
N _{Ma}	6.25	0.0	0.0	0.0	0
W _{Ma}	91.97	0.0	0.0	0.0	0
R _{CIE}	39.92	59.8	31.05	67.38	27
J _{CIE}	81.26	-2.52	76.25	76.29	92
G _{CIE}	52.23	-41.56	17.14	44.96	158
B _{CIE}	30.57	2.63	-43.77	43.86	273

	$L^*=L^*_a$	a^*_a	b^*_a	$C^*_{ab,a}$	$h^*_{ab,a}$
O _{Ma}	32.57	62.32	46.49	77.75	37
Y _{Ma}	82.73	-3.16	113.99	114.03	92
L _{Ma}	39.43	-61.79	45.84	76.95	143
C _{Ma}	47.86	-26.79	-34.24	43.49	232
V _{Ma}	10.16	55.12	-61.03	82.24	312
M _{Ma}	34.5	80.68	-33.92	87.52	337
N _{Ma}	6.25	0.0	0.0	0.0	0
W _{Ma}	91.97	0.0	0.0	0.0	0
R _{CIE}	39.92	59.8	31.05	67.38	27
J _{CIE}	81.26	-2.52	76.25	76.29	92
G _{CIE}	52.23	-41.56	17.14	44.96	158
B _{CIE}	30.57	2.63	-43.77	43.86	273

	$L^*=L^*_a$	a^*_a	b^*_a	$C^*_{ab,a}$	$h^*_{ab,a}$
O _{Ma}	32.57	62.32	46.49	77.75	37
Y _{Ma}	82.73	-3.16	113.99	114.03	92
L _{Ma}	39.43	-61.79	45.84	76.95	143
C _{Ma}	47.86	-26.79	-34.24	43.49	232
V _{Ma}	10.16	55.12	-61.03	82.24	312
M _{Ma}	34.5	80.68	-33.92	87.52	337
N _{Ma}	6.25	0.0	0.0	0.0	0
W _{Ma}	91.97	0.0	0.0	0.0	0
R _{CIE}	39.92	59.8	31.05	67.38	27
J _{CIE}	81.26	-2.52	76.25	76.29	92
G _{CIE}	52.23	-41.56	17.14	44.96	158
B _{CIE}	30.57	2.63	-43.77	43.86	273

	$L^*=L^*_a$	a^*_a	b^*_a	$C^*_{ab,a}$	$h^*_{ab,a}$
O _{Ma}	32.57	62.32	46.49	77.75	37
Y _{Ma}	82.73	-3.16	113.99	114.03	92
L _{Ma}	39.43	-61.79	45.84	76.95	143
C _{Ma}	47.86	-26.79	-34.24	43.49	232
V _{Ma}	10.16	55.12	-61.03	82.24	312
M _{Ma}	34.5	80.68	-33.92	87.52	337
N _{Ma}	6.25	0.0	0.0	0.0	0
W _{Ma}	91.97	0.0	0.0	0.0	0
R _{CIE}	39.92	59.8	31.05	67.38	27
J _{CIE}	81.26	-2.52	76.25	76.29	92
G _{CIE}	52.23	-41.56	17.14	44.96	158
B _{CIE}	30.57	2.63	-43.77	43.86	273

	$L^*=L^*_a$	a^*_a	b^*_a	$C^*_{ab,a}$	$h^*_{ab,a}$
O _{Ma}	32.57	62.32	46.49	77.75	37
Y _{Ma}	82.73	-3.16	113.99	114.03	92
L _{Ma}	39.43	-61.79	45.84	76.95	143
C _{Ma}	47.86	-26.79	-34.24	43.49	232
V _{Ma}	10.16	55.12	-61.03	82.24	312
M _{Ma}	34.5	80.68	-33.92	87.52	337
N _{Ma}	6.25	0.0	0.0	0.0	0
W _{Ma}	91.97	0.0	0.0	0.0	0
R _{CIE}	39.92	59.8	31.05	67.38	27
J _{CIE}	81.26	-2.52	76.25	76.29	92
G _{CIE}	52.23	-41.56	17.14	44.96	158
B _{CIE}	30.57	2.63	-43.77	43.86	273

	$L^*=L^*_a$	a^*_a	b^*_a	$C^*_{ab,a}$	$h^*_{ab,a}$
O _{Ma}	32.57	62.32	46.49	77.75	37
Y _{Ma}	82.73	-3.16	113.99	114.03	92
L _{Ma}	39.43	-61.79	45.84	76.95	143
C _{Ma}	47.86	-26.79	-34.24	43.49	232
V _{Ma}	10.16	55.12	-61.03	82.24	312
M _{Ma}	34.5	80.68	-33.92	87.52	337
N _{Ma}	6.25	0.0	0.0	0.0	0
W _{Ma}	91.97	0.0	0.0	0.0	0
R _{CIE}	39.92	59.8	31.05	67.38	27
J _{CIE}	81.26	-2.52	76.25	76.29	92
G _{CIE}	52.23	-41.56	17.14	44.96	158
B _{CIE}	30.57	2.63	-43.77	43.86	273

	$L^*=L^*_a$	a^*_a	b^*_a	$C^*_{ab,a}$	$h^*_{ab,a}$
O _{Ma}	32.57	62.32	46.49	77.75	37
Y _{Ma}	82.73	-3.16	113.99	114.03	92
L _{Ma}	39.43	-61.79	45.84	76.95	143
C _{Ma}	47.86	-26.79	-34.24	43.49	232
V _{Ma}	10.16	55.12	-61.03	82.24	312
M _{Ma}	34.5	80.68	-33.92	87.52	337
N _{Ma}	6.25	0.0	0.0	0.0	0
W _{Ma}	91.97	0.0	0.0	0.0	0
R _{CIE}	39.92	59.8	31.05	67.38	27
J _{CIE}	81.26	-2.52	76.25	76.29	92
G _{CIE}	52.23	-41.56	17.14	44.96	158
B _{CIE}	30.57	2.63	-43.77	43.86	273

	$L^*=L^*_a$	a^*_a	b^*_a	$C^*_{ab,a}$	$h^*_{ab,a}$
O _{Ma}	32.57	62.32	46.49	77.75	37
Y _{Ma}	82.73	-3.16	113.99	114.03	92
L _{Ma}	39.43	-61.79	45.84	76.95	143
C _{Ma}	47.86	-26.79	-34.24	43.49	232
V _{Ma}	10.16	55.12	-61.03	82.24	312
M _{Ma}	34.5	80.68	-33.92	87.52	337
N _{Ma}	6.25	0.0	0.0	0.0	0
W _{Ma}	91.97	0.0	0.0	0.0	0
R _{CIE}	39.92	59.8	31.05	67.38	27
J _{CIE}	81.26	-2.52	76.25	76.29	92
G _{CIE}	52.23	-41.56	17.14	44.96	158
B _{CIE}	30.57	2.63	-43.77	43.86	273

	$L^*=L^*_a$	a^*_a	b^*_a	$C^*_{ab,a}$	$h^*_{ab,a}$

<tbl_r cells="6" ix="2" maxc